

Determinación de Superficies Visibles

Lab. de Visualización y Computación Gráfica
Dpto. de Ciencias e Ingeniería de la Computación
Universidad Nacional del Sur

Introducción

Pantalla 3D

C. 3D de Pantalla

?

Cara Oculta Rasterización

Ventana

C. Ventana

S. Castro, N. Gascón CG 2015

Introducción

Cada píxel tiene un determinado lugar en el frame buffer.

¿Qué triángulo gana? ¿O cuál gana parcialmente?

S. Castro, N. Gascón CG 2015

Introducción

La idea es mantener las superficies visibles.

- Típicamente sólo vemos la superficie que está más cerca del ojo
- Excepción: transparencia

S. Castro, N. Gascón CG 2015

Introducción

Definición

Dado un conjunto de objetos 3D y una especificación del sistema de vista se quiere determinar qué líneas o superficies de los objetos son visibles.

Una superficie puede estar ocluida por otros objetos o por sí misma (auto oclusión).

S. Castro, N. Gascón CG 2015

Introducción

Nota Histórica

El problema se presentó por primera vez para el rendering de wireframes. La solución se denominó *eliminación de la línea oculta*.

- Las líneas mismas no ocultan superficies. Las líneas pueden ser aristas de superficies opacas que tapan otras superficies
- Algunas técnicas muestran segmentos como punteados.

S. Castro, N. Gascón CG 2015

Introducción

Para la determinación de superficies visibles hay 3 tipos de algoritmos:

- **Algoritmos simples** que testean visibilidad (culling): determinan las caras que no pueden verse desde el observador
 - Los resultados deben someterse a alguno de los algoritmos mencionados a continuación. Por ej. back-face culling, clipping del volumen de vista canónico.
- **Precisión de la Imagen:** resuelven la visibilidad en puntos discretos de la imagen
 - Muestran el modelo y luego resuelven la visibilidad. Por ej. raytracing o Z-buffer y los scan-line con buffers de profundidad.
- **Precisión del Objeto:** resuelven la visibilidad para todas las posibles direcciones desde un determinado punto de vista
 - En primera instancia resuelven la visibilidad y luego muestran los resultados. Son independientes de la dirección de vista o de la densidad de muestreo. Por ej. ordenamiento 3-D en profundidad, árboles BSP.

S. Castro, N. Gazzón

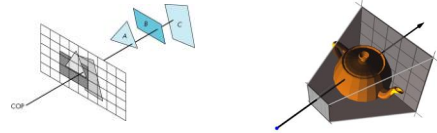
CG 2015

Introducción

Propuesta en el espacio de la Imagen

Para cada pixel en la imagen

- Determinar el objeto más cercano al observador que es atravesado por el proyector a través del pixel
- Dibujar el pixel del color apropiado



S. Castro, N. Gazzón

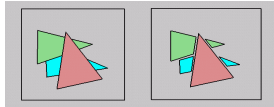
CG 2015

Introducción

Propuesta en el espacio del Objeto

Para cada objeto en el mundo

- Determinar las partes del objeto que no se obstruyen por otras partes del mismo o de cualquier otro objeto
- Dibujar esas partes del objeto del color apropiado



S. Castro, N. Gazzón

CG 2015

Introducción

¿Qué puede hacerse para resolver el problema general de determinación de CO?

- Los algoritmos requieren operaciones potencialmente costosas
 - Determinar, para un proyector y un objeto o para la proyección de dos objetos, si hay intersección y dónde.
 - Calcular, para el conjunto de objetos, el que está más cerca del observador y que por lo tanto es visible.
- Las operaciones costosas deben realizarse
 - Eficientemente.
 - La menor cantidad de veces posible.

S. Castro, N. Gazzón

CG 2015

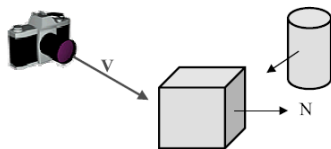
Introducción

Detección de la cara de atrás (back face culling)

En un objeto volumétrico no se ven las caras de atrás.

Éstas pueden identificarse usando el signo del producto escalar VN

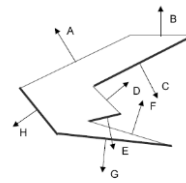
¿En qué coordenadas está representada N?



S. Castro, N. Gazzón

CG 2015

Introducción

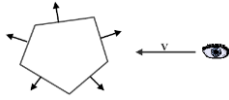


- Polígonos cuya normal apunta hacia atrás A, B, D, F
- Polígonos cuya normal apunta hacia delante C, E, G, H

S. Castro, N. Gazzón

CG 2015

Introducción



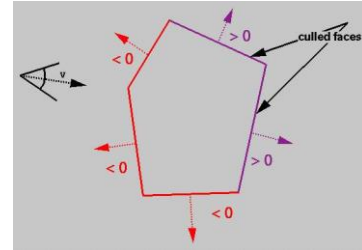
- Tres posibilidades
 - $V \cdot N > 0$ cara de atrás
 - $V \cdot N < 0$ cara de adelante
 - $V \cdot N = 0$ cara en la línea de vista
- En objetos convexos, la detección de la cara de atrás resuelve el problema de superficie visible
- Esta detección se aplica fácilmente a objetos poliédricos convexos
- En un objeto cualquiera la cara frontal puede ser visible, invisible o parcialmente visible.

S. Castro, N. Gázquez

CG 2015

Introducción

Esta eliminación de objetos o partes de los mismos que no se ven se denomina *back face culling*

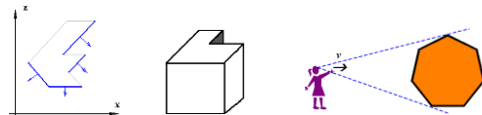


S. Castro, N. Gázquez

CG 2015

Introducción

El producto escalar de la normal a una cara y el vector desde el observador a la cara permite determinar las caras no visibles por el observador



¿Es necesario este cálculo?

En OpenGL simplemente podemos habilitar el culling pero puede no trabajar correctamente sobre objetos que no son convexos.

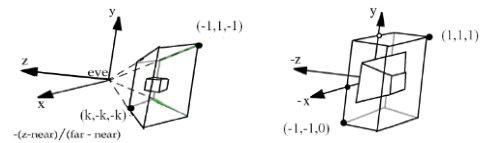
S. Castro, N. Gázquez

CG 2015

Introducción

Transformación Perspectiva

La transformación perspectiva preserva la relación de profundidad, la planaridad de los planos y la rectitud de las líneas y realiza el *acortamiento de perspectiva*



¿Cuándo debe realizarse la comparación en profundidad?

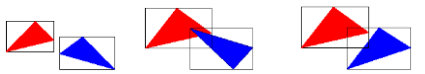
S. Castro, N. Gázquez

CG 2015

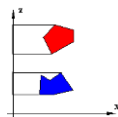
Introducción

Extensión y volúmenes limitantes

Si luego de la proyección perspectiva las extensiones no se solapan, los objetos tampoco lo hacen. Si las mismas se solapan, los objetos pueden solaparse.



Las extensiones pueden limitar los objetos mismos, son los volúmenes limitantes (bounding volumes).



S. Castro, N. Gázquez

CG 2015

Introducción

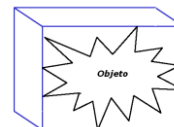
Extensión y volúmenes limitantes

La idea de los volúmenes limitantes es limitar cada objeto complejo con objetos más simples:

- Por ej. Esteras, cubos, prismas.

Si el volumen limitante no es visible, tampoco lo será el objeto que está dentro de él.

También pueden ponerse varios objetos dentro de un volumen; esto es más eficiente.



S. Castro, N. Gázquez

CG 2015

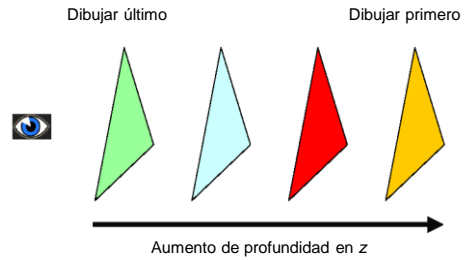
Algoritmos de Cara Oculta

S. Castro, N. Gazzón

CG 2015

Algoritmo del Pintor

Renderizar los polígonos de atrás hacia adelante de modo que los mismos se pinten unos encima de otros.



S. Castro, N. Gazzón

CG 2015

Algoritmo del Pintor

Desarrollado por Newell, Newell y Sancha (1972).

Dado que la estrategia es trabajar de atrás hacia adelante, se debe encontrar una forma de ordenar los polígonos en profundidad (z), y luego dibujarlos en ese orden.



Algoritmo:

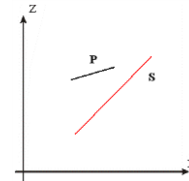
- Ordenar todos los polígonos en profundidad de acuerdo al z más lejano (la mayor o menor coordenada z de cada polígono, de acuerdo al sistema de coordenadas con que se trabaje)
- Hacer la conversión scan dibujando primero el polígono más lejano y luego trabajar hacia el punto de vista (como un pintor)

S. Castro, N. Gazzón

CG 2015

Algoritmo del Pintor

¿Hay algún problema con este algoritmo?



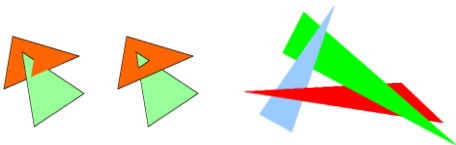
El algoritmo no trabaja bien en este caso.

S. Castro, N. Gazzón

CG 2015

Algoritmo del Pintor

¿En estos casos?



Hay problemas cuando se tienen:

- Intersecciones
- Ciclos

Se resuelve pero el costo es alto y el algoritmo no es bueno.

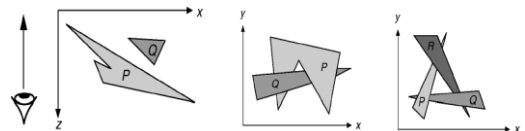
Además se requiere un ordenamiento.

S. Castro, N. Gazzón

CG 2015

Algoritmo Depth Sort

Maneja los errores que se producen debido al ordenamiento en z

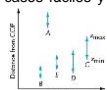


S. Castro, N. Gazzón

CG 2015

Algoritmo Depth Sort

- Ordenar todos los polígonos de acuerdo a la coordenada z más lejana (espacio del objeto)
 - Resolver *cualquier ambigüedad*, partiendo los polígonos si es necesario
 - Dibujar todos los polígonos de atrás hacia adelante
- Requiere que primero se ordenen los polígonos
 - Cálculo del orden de $O(n \log n)$ para el ordenamiento
 - Cada polígono no está necesariamente delante o detrás de todos los demás.
- El ordenamiento de los polígonos trabaja primero con los casos fáciles y luego con los difíciles.



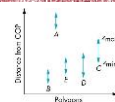
S. Castro, N. Gazzón

CG 2015

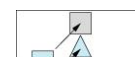
Algoritmo Depth Sort

Casos fáciles

- Uno está detrás de todos los demás
 - Se puede renderizar
- Los polígonos se solapan en z pero no se solapan ni en x ni en y
 - Se pueden renderizar independientemente



No hay solapamiento en x



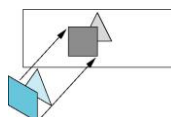
No hay solapamiento en y

S. Castro, N. Gazzón

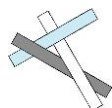
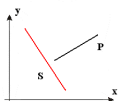
CG 2015

Algoritmo Depth Sort

Casos difíciles



Solapamiento en todas las direcciones pero un polígono puede estar completamente de un lado del otro.



Solapamiento cíclico



Penetración

S. Castro, N. Gazzón

CG 2015

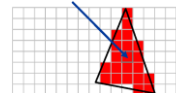
Z-Buffer

El buffer de Profundidad: Algoritmo Z-Buffer

$z = 0.7$



$z = 0.3$



Como $0.3 < 0.7$ el pixel se pinta de rojo



S. Castro, N. Gazzón

CG 2015

Z-Buffer

El z-buffer es un buffer 2D del mismo tamaño que la imagen

1.0	1.0	1.0	1.0	1.0	1.0	1.0	1.0	1.0	1.0	1.0	0.1	1.0	1.0	1.0	1.0	1.0	1.0	1.0	1.0
1.0	1.0	1.0	1.0	1.0	1.0	1.0	1.0	1.0	1.0	1.0	0.1	0.1	1.0	1.0	1.0	1.0	1.0	1.0	1.0
1.0	1.0	1.0	1.0	1.0	1.0	1.0	1.0	1.0	1.0	1.0	0.2	0.2	0.3	1.0	1.0	1.0	1.0	1.0	1.0
1.0	1.0	1.0	1.0	1.0	1.0	1.0	1.0	1.0	1.0	1.0	0.3	0.3	0.4	1.0	1.0	1.0	1.0	1.0	1.0
1.0	1.0	1.0	1.0	1.0	1.0	1.0	1.0	1.0	1.0	1.0	0.3	0.4	0.4	0.5	1.0	1.0	1.0	1.0	1.0
1.0	1.0	1.0	1.0	1.0	1.0	1.0	1.0	1.0	1.0	1.0	0.4	0.4	0.5	0.5	0.5	1.0	1.0	1.0	1.0
1.0	1.0	1.0	1.0	1.0	1.0	1.0	1.0	1.0	1.0	1.0	0.4	0.5	1.0	1.0	1.0	1.0	1.0	1.0	1.0

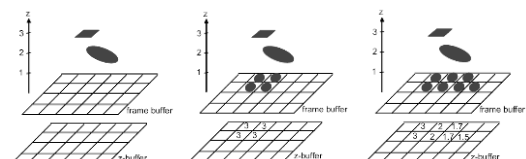
S. Castro, N. Gazzón

CG 2015

Z-Buffer

Desarrollado por Catmull (1974). Es uno de los más simples para implementar tanto en software como en hardware.

El *frame buffer* almacena los colores. Se inicializa con el color del fondo. Se mantiene un *Z-buffer* de la misma resolución que el *frame buffer* para mantener la profundidad de cada pixel. Se inicializa con el valor z correspondiente al plano lejano (*far*).



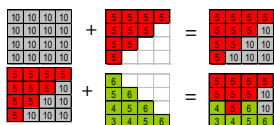
S. Castro, N. Gazzón

CG 2015

Z-Buffer

Algoritmo Z-Buffer

Para cada polígono p
 Para cada pixel(x, y) en la proyección de p
 $z_p \leftarrow$ coordenada z de p en (x, y)
 si $z_p < z_{buffer}(x, y)$
 entonces { z_p está más cerca}
 setearPixel(x, y, color) en frame buffer
 $z_{buffer}(x, y) \leftarrow z_p$



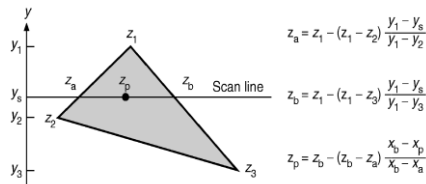
S. Castro, N. Gazzón

CG 2015

Z-Buffer

¿Cómo calcular el color y el valor de z en cada punto del polígono?

Por una cuestión de velocidad, la pseudo profundidad z_p podemos calcularla por interpolación.



Tanto la coordenada z de cada punto del polígono, como el color (Gouraud) podemos calcularlo incrementalmente.

S. Castro, N. Gazzón

CG 2015

Z-Buffer

Ventajas

- Puede utilizarse para cualquier tipo de objeto si se puede determinar el valor de z y la iluminación en cada punto de la proyección; observar que también es adecuado para objetos con superficies curvas ya que encuentra la superficie más cercana basándose en un test punto por punto.
- Los polígonos no tienen que compararse en un orden predeterminado: no es necesario un ordenamiento en z.
- No se requiere algoritmo de intersección.
- Sólo considera un polígono a la vez aunque la oclusión es un problema global.
- Fácil de implementar. La simplicidad también se traslada al hardware y se usa en la mayoría de las estaciones de trabajo 3-D y las tarjetas gráficas, aún las más baratas.
- Los requerimientos de memoria se pueden superar si la imagen se convierte por zonas.

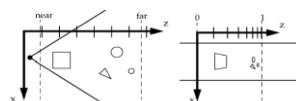
S. Castro, N. Gazzón

CG 2015

Z-Buffer

Desventajas

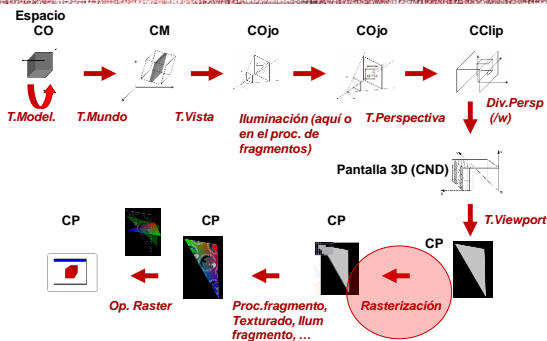
- Puede pintar el mismo pixel varias veces y esto es caro.
- Tiene un problema de precisión debido al acortamiento en perspectiva
 - los objetos originalmente lejos de la cámara, terminan teniendo entre sí menores diferencias en los valores en z que los que estaban cerca
 - la información en profundidad pierde precisión rápidamente, esto puede originar artefactos para objetos distantes
- No se pueden renderizar transparencias directamente.
- No se puede aplicar tratamientos de anti-aliasing directamente.
 - requiere conocer todos los polígonos involucrados en un determinado pixel



S. Castro, N. Gazzón

CG 2015

Pipeline de OpenGL



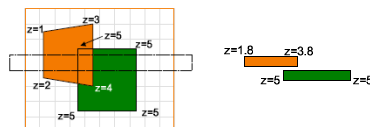
S. Castro, N. Gazzón

CG 2015

Scan Line

Es una extensión del algoritmo de rasterizado ya que, mientras se avanza a lo largo de una línea de scan, permite

- determinar las superficies que se proyectan a un pixel
- elegir la más cercana de un determinado subconjunto de éstas



S. Castro, N. Gazzón

CG 2015

Scan Line

Se deben crear dos tablas:

- Una tabla de lados para todos los lados no horizontales de todos los polígonos
 - Ordenados por la menor coordenada y
 - En cada y ordenados por la menor coordenada x

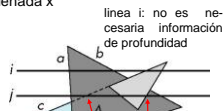
Una tabla de polígonos

Información de cada lado

x	y _{máx}	Δx	ID
---	------------------	----	----

Información de cada polígono

ID	Ec. Plano	Info sombreado	D/F
----	-----------	----------------	-----



línea i: no es necesaria información de profundidad
línea j: se necesita información de profundidad porque se está dentro de más de un polígono

Scan Line

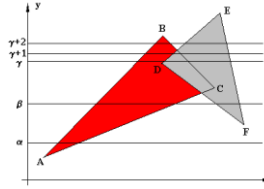


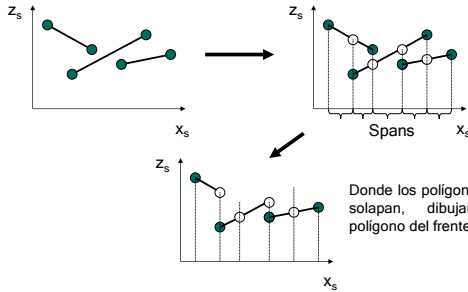
Tabla de línea de scan

Línea de scan	Entradas
α	AB AC
β	AB AC ED FE
$\gamma, \gamma+1$	AB DE CB FE
$\gamma+2$	AB CB DE FE

Tabla P	DEF	ABC
---------	-----	-----



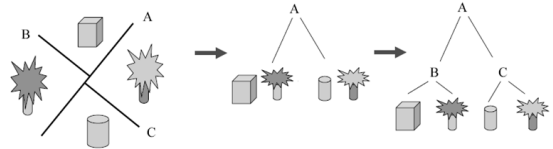
Scan Line



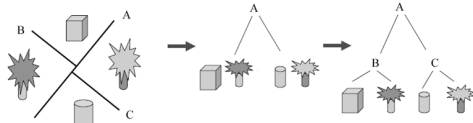
Donde los polígonos se solapan, dibujar el polígono del frente

Árboles BSP

Proporciona subdivisión espacial y orden de dibujo



Árboles BSP



Para mostrar correctamente cualquier polígono, mostrar todos los polígonos que estén del lado más lejano del polígono (relativos al punto de vista), luego ese polígono, y luego todos los polígonos que estén más cercanos.

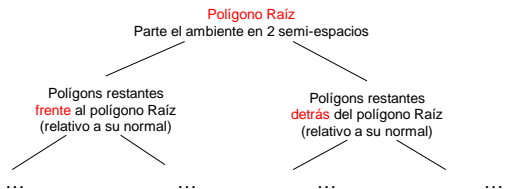
... pero, ¿cómo mostrar correctamente los polígonos que están de un determinado lado? Elegir un polígono y procesar el resto de la misma forma.

- Se debe realizar un paso de preprocesamiento independiente del punto de vista para tener bajo tiempo de ejecución cuando se cambia el punto de vista. Esto implica tiempo y espacio extras.

Árboles BSP

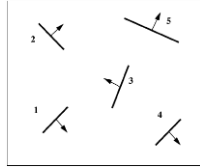
Desarrollado por Fuchs, Kedem y Naylor (1980)

Extremadamente eficiente para calcular las relaciones de visibilidad entre un grupo estático de polígonos 3D vistos desde un punto de vista arbitrario.



Árboles BSP

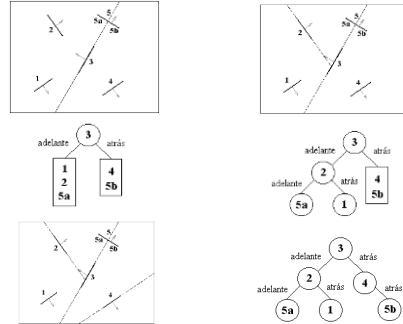
- La tarea que es independiente del punto de vista debe realizarse cada vez que la escena cambia. Esto se realiza entonces del siguiente modo:
 - subdividir recursivamente la escena en una jerarquía de semiespacios de acuerdo al plano determinado por un determinado polígono seleccionado.
 - construir un árbol BSP representando esta jerarquía
 - cada polígono seleccionado será la raíz de un subárbol
- Desarrollaremos el siguiente ejemplo:



S. Castro, N. Gázquez

CG 2015

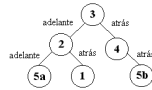
Árboles BSP



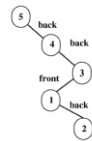
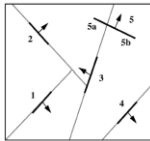
S. Castro, N. Gázquez

CG 2015

Árboles BSP



Un árbol BSP alternativo:



S. Castro, N. Gázquez

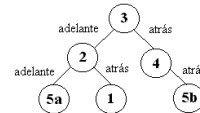
CG 2015

Árboles BSP



Algoritmo Mostr_BSP(A)

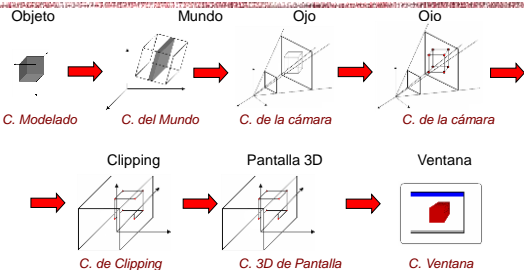
Si el árbol no está vacío
 Si el observador está frente a la raíz
 {Mostrar $H_{\text{atrás}}$, raíz, H_{adelante} }
 Mostr_BSP($A \wedge H_{\text{atrás}}$)
 MostrarPolígono($A \wedge \text{Raiz}$)
 Mostr_BSP($A \wedge H_{\text{adelante}}$)
 sino
 {Mostrar H_{adelante} , raíz, $H_{\text{atrás}}$ }
 Mostr_BSP($A \wedge H_{\text{adelante}}$)
 MostrarPolígono($A \wedge \text{Raiz}$)
 Mostr_BSP($A \wedge H_{\text{atrás}}$)



S. Castro, N. Gázquez

CG 2015

CO en el Pipeline 3D

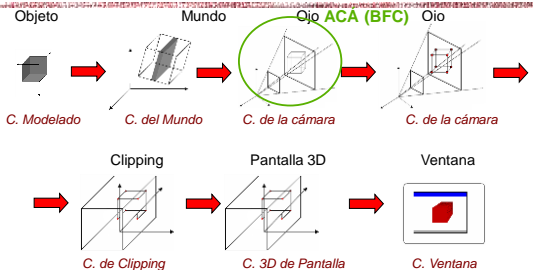


¿Dónde se realiza el culling?
 ¿Dónde se remueven las superficies ocultas?

S. Castro, N. Gázquez

CG 2015

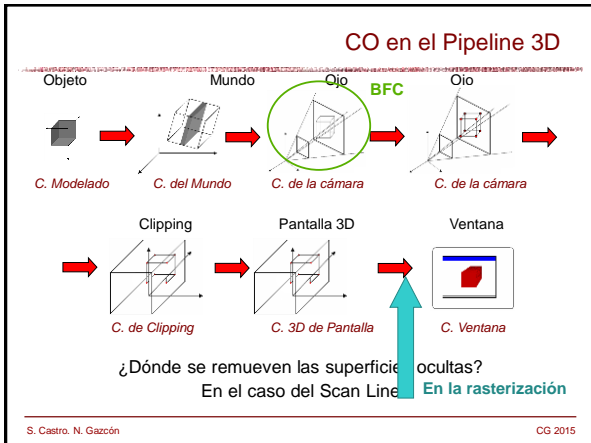
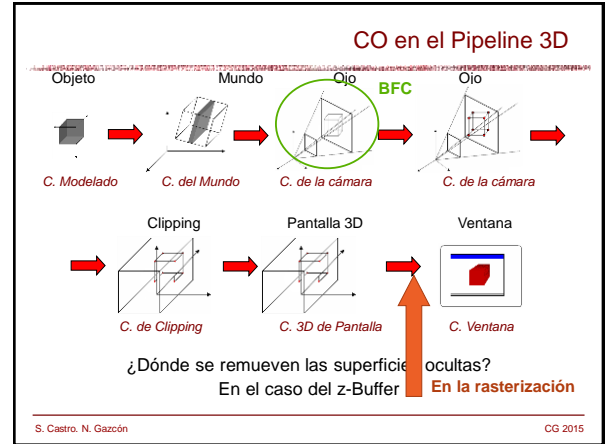
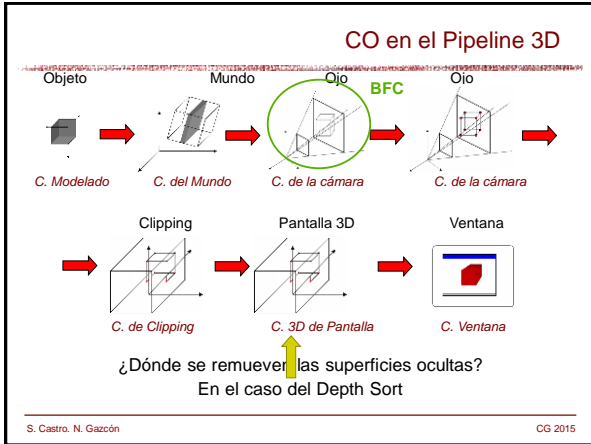
CO en el Pipeline 3D



¿Dónde se realiza el culling?
 ¿Dónde se remueven las superficies ocultas?

S. Castro, N. Gázquez

CG 2015



Bibliografía

Angel, E., Shreiner, D. *Interactive Computer Graphics: A top-down approach with shader-based OpenGL*, Addison Wesley, 6th. Ed., 2011.

Buss, S., *3-D Computer Graphics, A Mathematical Introduction with OpenGL*, Cambridge University Press, New York, 2003.

Foley, J., van Dam, A., Feiner, S. y Hughes, J., *Computer Graphics. Principles and Practice*, Addison Wesley, 1992, 2nd Edition (Cap. 15)

Hearn, D., Baker, M.P., *Computer Graphics, C Version*, Prentice Hall Inc., 2003, 3rd Edition.

Hill, F. Jr, Kelley, S., *Computer Graphics Using OpenGL*, Prentice Hall, 3rd Ed., 2006.

Watt, A., *3D Computer Graphics*, Addison-Wesley Publishing Company, 1999.

Sutherland, I., Sproull, R., Schumacker, R., *A Characterization of Ten Hidden-Surface Algorithms*, ACM Computing Surveys, Vol. 6, No. 1, March 1974.

Shreiner, D., The Khronos OpenGL ARB Working Group, *OpenGL Programming Guide: The Official Guide to Learning OpenGL, Versions 3.0 and 3.1 7th Edition*, 2009.

S. Castro, N. Gazoón CG 2015